

УДК 539.21

©1995

## РАСЧЕТ ЭНЕРГИИ МИГРАЦИИ И ОБРАЗОВАНИЯ ВАКАНСИЙ В ПАРАДИБРОМБЕНЗОЛЕ И ПАРАДИХЛОРБЕНЗОЛЕ $\alpha$ - И $\beta$ -МОДИФИКАЦИЙ

Б.Ф.Шабанов, М.А.Коршунов

Институт физики им. Л.В.Киренского СО РАН, Красноярск  
(Поступила в Редакцию 5 марта 1994 г.)

В окончательной редакции 12 июля 1994 г.)

Рассчитаны энергии миграции и образование вакансий в парадихлорбензоле  $\alpha$ - и  $\beta$ -модификаций, парадибромбензоле методом атом-атом потенциалов. Показано, что в этих кристаллах энергия активации для кристаллографических направлений [001] и [010] различна.

В последнее время возрос интерес к изучению диффузии в органических кристаллах низкой симметрии, что связано с использованием их в молекулярной электронике [1]. Как отмечается в работах Гиббса и Ферта [2,3], наличие диффузии в образце вызывает нелокальность оптического отклика, в то же время молекула с измененными параметрами может мигрировать и искажать записанную информацию в материале. Трудности, возникающие при изучении диффузии в низкосимметричных органических кристаллах, связаны, в частности, с несферичностью молекул, наличием ориентационных колебаний, дефектов и т.д. При этом интерпретация экспериментальных результатов затруднена из-за дефицита теоретических данных [4]. Поэтому представляется важным изучение миграции молекул в органических кристаллах, хорошо изученных ранее различными методами.

В качестве объектов исследования выбраны парадихлорбензол ( $\alpha$ -модификация) и изоморфный ему парадибромбензол, относящиеся к пространственной группе  $P2_1/a$  с двумя молекулами в элементарной ячейке ( $Z = 2$ ), и  $\beta$ -модификация парадихлорбензола ( $P\bar{1}$ ) с одной молекулой в элементарной ячейке, которые хорошо изучены оптическими [5], рентгенографическими [6] и ЯКР [7] методами.

В настоящей работе представлены результаты расчета по методу атом-атом потенциалов [8] энергий решетки, образования вакансий и миграции молекул изучаемых кристаллов.

Получены экспериментальные спектры малых частот изучаемых кристаллов [9]. На основании рентгеноструктурных данных [6] проведены расчеты этих спектров. Совпадение расчетных и экспериментальных спектров подтверждает правильность выбранных констант потенциалов.

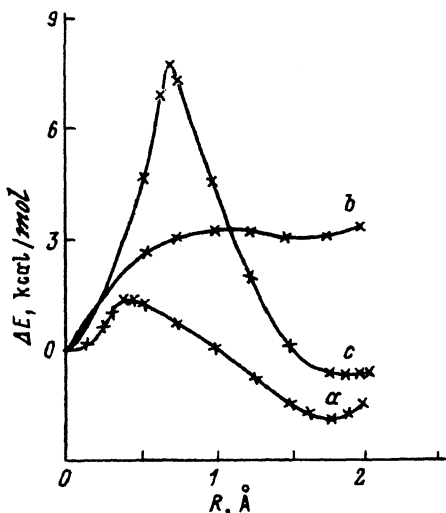


Рис. 1. Изменение потенциальной энергии при смещении молекулы вдоль кристаллографической оси  $Z$ .

Показана половина графиков, соответствующая половине периода решетки, вторая половина графика симметрична первой относительно точки половины периода.

Расчет показал, что энергия решетки равна  $E_l = 15.53$  (для идеального кристалла пара ди хлорбензола), 14.58 (для  $\beta$ -модификации), 17.91 kcal/mol (для пара ди бромбензола). Это согласуется с данными работы [5].

Расположение молекул в решетке кристалла с вакансиями находилось по минимуму свободной энергии. Минимизация проводилась по ориентациям и смещениям центров тяжести молекул, принятых в рассмотрение. Найдено, что отклонение по углам не превышает  $2\text{--}3^\circ$ , а смещения центров масс составляет около 0.005 Å. Энергия пара ди хлорбензола изменилась благодаря релаксации молекул на  $E_r = 0.53$  ( $\alpha$ -модификация) и 0.51 kcal/mol ( $\beta$ ), а пара ди бромбензола — на  $E_r = 0.72$  kcal/mol. Следовательно, энергия образования вакансий для пара ди хлорбензола составляет  $E_f = E_l - E_r = 15.00$  ( $\alpha$ -модификация), 14.07 kcal/mol ( $\beta$ ), а для пара ди бромбензола  $E_f = 17.19$  kcal/mol [4].

При рассмотрении миграции молекул молекула из положения (0,0,0) шаг за шагом сдвигалась вдоль выбранного направления в сторону вакансии. При каждом шаге проводилась минимизация энергии.

На рис. 1 представлены графики изменения потенциальной энергии при смещении молекулы вдоль кристаллографической оси  $Z$ , для па-

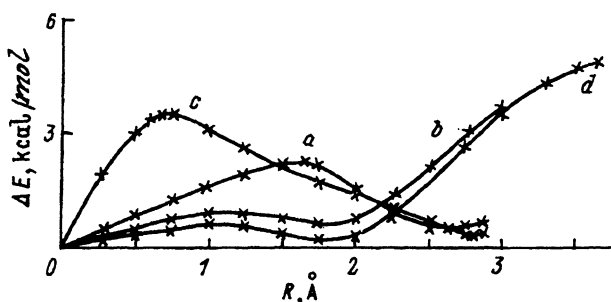


Рис. 2. Изменение потенциальной энергии для пара ди хлорбензола и пара ди бромбензола при смещении молекулы вдоль кристаллографических направлений [010] (a, b, c) и [100] (d).

Представлены графики половины периода.

радихлорбензола (*a*),  $\beta$ -модификации (*b*) и парадибромбензола (*c*). На всех графиках наблюдается два максимума, но для  $\beta$ -модификации парадихлорбензола второй максимум (в области 2 Å) выше первого. При смещении молекулы вдоль оси *Z* более чем на 0.3 Å отмечается постепенное изменение ориентации молекулы парадихлорбензола. Угол между плоскостями несмещенной и смещенной молекулы по оси *Z* на 1.99 Å составляет около 61°. При этом молекула по оси *Y* сдвигается на -0.8 Å. Аналогичны изменения в парадибромбензоле, но изменение ориентации молекулы начинается при смещении на 0.7 Å. Из результатов расчетов, приведенных на рис. 1, видно, что энергия миграции равна  $E_m = 1.71$  (для  $\alpha$ -модификации парадихлорбензола), 3.3 ( $\beta$ ) и 7.7 kcal/mol (для парадибромбензола). Следовательно, энергия активации в кристалле парадихлорбензола  $E_d = E_m + E_f = 16.71, 17.37$  (для  $\beta$ -модификации) и 24.89 kcal/mol (для парадибромбензола) [4].

На рис. 2 представлены графики изменения потенциальной энергии при смещении молекулы вдоль кристаллографической оси [010] для парадихлорбензола (*a*),  $\beta$ -модификации (*b*), парадибромбензола (*c*) и при смещении вдоль направления [100] для  $\beta$ -модификации парадихлорбензола (*d*). Для  $\beta$ -модификации парадихлорбензола (рис. 2,*b,d*) на графиках второй максимум выше первого, что отличается от графиков *a*, *c*. Это обусловлено тем, что в элементарной ячейке содержится одна молекула. Энергия миграции  $E_m = 2.61$  (для  $\alpha$ -модификации парадихлорбензола), 4.1 ( $\beta$ ) и 3.6 kcal/mol (для парадибромбензола). Из полученных данных энергия активации в направлении [010] для парадихлорбензола  $E_d = 17.61, 18.17$  kcal/mol ( $\beta$ -модификация), для парадибромбензола  $E_d = 20.79$  kcal/mol. В направлении [100] для парадибромбензола  $E_d = 18.77$  kcal/mol.

В работах [4,10] приведены данные по энергии активации в нафталине. Она составляет для направления [010] величину равную 22.21 и для направления [001] — 24.60 kcal/mol. Как видно, наши данные соглашаются с данными работы [4].

Таким образом, можно отметить, что в изученных кристаллах энергия активации для рассмотренных кристаллографических направлений различна.

### Список литературы

- [1] Новые физические принципы оптической обработки информации / Под ред. С.А.Ахманова, М.А.Воронцова. М.: Наука, 1990. С. 399.
- [2] Гиббс Х. Оптическая бистабильность: управление светом с помощью света. М.: Мир, 1988. 518 с.
- [3] Tay K., Moloney J.V., Gibbs H.M. // Opt. Lett. 1982. V. 7. P. 429-430.
- [4] Dautant A., Voprun L. // Mol. Cryst. Liq. Cryst. 1986. V. 137. P. 221-230.
- [5] Спиридовон В.П. Канд. дис. Красноярск, 1977. 126 с.
- [6] Китайгородский А.И. Рентгеноструктурный анализ. М.: ГИТТЛ, 1950. 650 с.
- [7] Гречишков В.С. Ядерные квадрупольные взаимодействия в твердых телах. М.: Наука, 1973. 265 с.
- [8] Китайгородский А.И. Молекулярные кристаллы. М.: Наука, 1971. 424 с.
- [9] Коршунов М.А., Шабанов В.Ф. // Опт. и спектр. 1984. Т. 57. № 6. С. 1029-1032.
- [10] Voprun L., Dautant A., Loumaid A., Haget Y. // Mol. Cryst. Liq. Cryst. 1986. V. 137. P. 213-220.